ディンプルを用いた新旧コンクリート間のせん断伝達(その2) 性能評価

(株)大林組 正会員 ○武田 篤史 田中 浩一 姜 威 (公財) 鉄道総合技術研究所 正会員 岡本 大 奥西 淳一 谷村 幸裕

1. はじめに

RC 構造物の曲げ補強における新旧コンクリート面でのせん断伝達への利用を目的として、ディンプルによる方法を開発した。本報では、表-1 に示す載荷実験結果 ¹⁾をもとに、設計で用いることができるように球底タイプの性能評価を行った。

2. せん断伝達性能の評価

2.1 概要 ディンプル深さの差 は見られなかったため、その影響が ないものとして評価した。新コンク

実験パラメーター 実験結果 ディンプル 拘束材 せん断 せん断 耐力時 新設 初期 拘束剛性 耐力 No. 名称 拘束力 コンク 拘束力 の実験値 深さ 個数 N^{peak} リート N^{ini} (配置) (mm) k_{exp} (kN/個) (kN/個) (kN/個) (kN/mm/個 C1 30 4個 25.0 49 7 34 7 C30-4-M-P02-SH 87.6 通常強度 C45-4-M-P02-SH 45 4個 诵常強度 25.0 47.6 81.5 33.6 C3 C60-4-M-P02-SH 60 4個 通常強度 25.0 51.0 82.7 32.9 C4 C30-V-M-P05-SH 30 2個(V) 通常強度 50.0 57.6 108 5 54.6 C30-H-M-P05-SH 50.0 114.9 58.8 C5 30 2個(H) 通常強度 64.6 35.6 C6 C30-4-M-P02-SL 30 25.0 89.6 31.4 C7 C30-4-M-P01-SH 30 4個 通常強度 11.5 51.4 62.8 20.8 54.2 C30-4-M-P06-SH 4個 诵常強度 57.3 126.9 64.3 4個 C9 C30-4-M-P17-SH 30 通常強度 172.0 40.3 158.4 175.5 C30-4-H-P02-SH 高強度 115.9

表-1 載荷実験のパラメーターと結果

リートを高強度とした C10 は、評価の対象から除外したが、その 特性を示すために各種グラフ中へのプロットは行った。

2.2 せん断耐力時における拘束力の影響 図-1 に最大荷重から求めたディンプル 1 個当たりのせん断耐力とせん断耐力時拘束力の関係を示す。

C9 を除くと、両者は概ね線形関係にあることが分かる。C9 は 拘束力が非常に大きいため、拘束力が有効な範囲の上限に達して いたと考えられる。そこで、C1~C8 を最小二乗法で近似し、C9 のせん断耐力を上限として、式(1)のように評価した。

$$V = 40.1 + 1.31 \, N^{peak} \quad \le 158 \tag{1}$$

ここに、V: せん断耐力(kN/個)、 N^{peak} : せん断耐力時拘束力(kN/個)。

2.3 パッシブ拘束力に与える拘束剛性の影響 式(1)における せん断耐力時の拘束力 N^{peak} は、初期拘束力 N^{ini} とパッシブ拘束力 N^{pas} が寄与しており、式(2)のように記述することができる。

$$N^{peak} = N^{ini} + N^{pas} \tag{2}$$

せん断耐力を求めるためには、パッシブ拘束力 N^{pas} を定式化する必要がある。そこで、パッシブ拘束力 N^{pas} と拘束剛性 k_{exp} との関係を考察する。 $\mathbf{Z}-\mathbf{Z}$ に、パッシブ拘束力 N^{pas} と拘束剛性 N^{pas} と拘束剛性 N^{pas} と

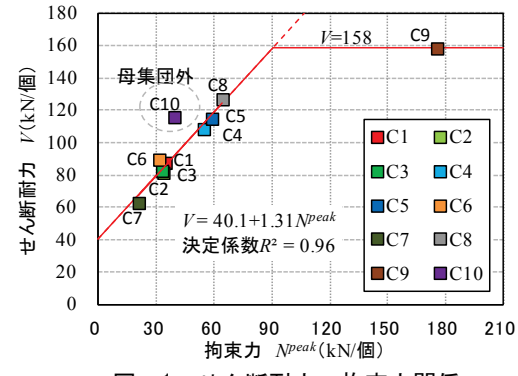


図-1 せん断耐カー拘束力関係

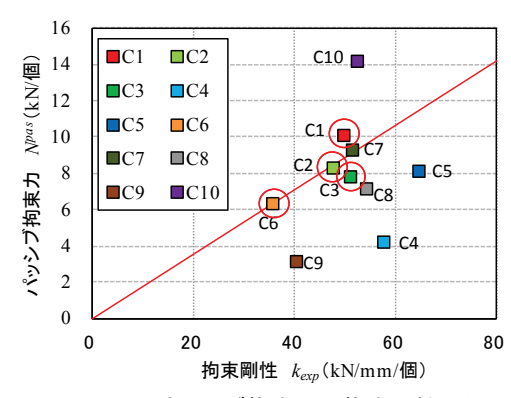


図-2 パッシブ拘束カー拘束剛性関係

との関係を示す。実験値すべてをプロットするとばらつきを有しているが、初期拘束力 N^{ini} が等しい 4 点(図中の赤丸で囲った点)に着目すると、概ね原点を通る直線状にある。そこで、初期拘束力が等しい場合には、比例係数 α を用いて以下の式が成り立つものと考えた。

キーワード:曲げ補強、新旧コンクリート、せん断伝達、一面せん断、拘束力

連絡先:〒204-8558 東京都清瀬市下清戸4-640(株)大林組 技術研究所 TEL042-495-1111

0.30

(E) 0.25

0.20

0.10 他 E 0.05

0.00

0.15

w = Npas0.17

$$N^{pas} = \alpha \cdot k_{exp} \tag{3}$$

ここで、比例係数 α は、増加荷重と剛性の比であるため、せ ん断耐力時の目開き量w(mm)にほかならない。つまり、式(3)は 初期拘束力が等しければせん断耐力時の目開き量 w が一定値 α であることを示している。

2.4 パッシブ拘束力に与える初期拘束力の影響 いて初期拘束力が異なるものに関してはばらつきが見られたた め、パッシブ拘束力 N^{pas} に与える初期拘束力の影響を検討した。 ただし、拘束剛性 k_{exp} の影響を取り込んだ上で検討するために、 パッシブ拘束力 N^{pas} は拘束剛性 k_{exp} で除して目開き量 w として 整理した。

図-3 にせん断耐力時の目開き量 $w(=N^{pas}/k_{exp})$ と初期拘束力 N^{ini} の関係を示す。右下がりの関係にあることが分かるため、式 (4)に示す直線で評価した(単位は kN、mm、/個)。

$$N^{pas} / k_{exp} = -6.80 \times 10^{-4} \cdot N^{ini} + 0.178 (4)$$

2.5 ディンプルによるせん断伝達性能の評価 ディンプル1 個当たりのせん断耐力 V は、式(1)、式(2)および式(4)を統合する ことにより、以下のように表わすことができる(単位は kN、 mm、/個)。

 $k_{exp} = -6.80 \times 10^{-4} N^{ini} + 0.178$ 決定係数 $R^2 = 0.521$

100

初期拘束力 Nini(kN/個)

■ C10 母集団外

50

C7 ■ C1

□C2

■C1

■C3

■C7

150

■C2

■C4

□C6

■C8

■C10

200

C9

図-4 せん断耐力の実験値と計算値

(5)

(6)

$$V = 40.1 + 1.31 N^{ini} - 8.91 \times 10^{-4} N^{ini} \cdot k + 0.233 k$$
 ≤ 158

適用範囲は、実験を行った範囲とするが、コンクリート強度の増加は耐力の上昇につながることが確認でき たため、コンクリート強度の適用範囲は実験値以上とすることができる。

せん断耐力の実験値 V_{exp} と計算値 V_{cal} との比較を $\mathbf{Z}-\mathbf{4}$ に示す。回帰式の母集団から除外している $\mathbf{C}10$ をの ぞくと、 V_{cal}/V_{exp} の平均は 1.00、変動係数は 0.05 であった。従って、十分な精度で評価できていると言える。

RC 構造物を巻立てにより曲げ補強を行う際は、鋼板や帯鉄筋、中 2.6 初期拘束力が小さい範囲への拡張 間貫通鋼材などの拘束材にプレストレスを導入することは一般的でない。しかし、本実験では、載荷時に試験 体を直立させるために初期拘束力 Nⁱⁿⁱ を導入した。したがって拘束材にプレストレスをかけない場合が適用範 囲外となる。そこで、 $0 \le N^{ini} < 11.5 \text{kN}/個の範囲への拡張を検討した。$

初期拘束力の影響を示しているのは、式(4)の目開き量評価である。目開き量と初期拘束力の関係は、図-3 に示す通り右下がりの関係である。プロットのない Nⁱⁿⁱ<11.5kN/個の範囲においても同様の傾向と考えられる が、直線で補完できるかは不明である。そこで、 N^{ini} <11.5kN/個の範囲において、図-3の破線で示すように目 開き量を一定と考えることでパッシブ拘束力を控えめに評価することとした。目開き量の最大値は、式(4)に N^{ini} =11.5kN/個を代入すると N^{pas}/k_{exp} =0.170mmなので、式(1)および式(2)と統合することでせん断耐力の評価 式は以下のようになる(単位はkN、mm、/個)。

$$V = 40.1 + 1.31 \, N^{ini} + 0.223 \, k \leq 158$$

適用範囲は初期拘束力 Nⁱⁿⁱ以外に関しては、式(5)と同様である。

3. まとめ

ディンプルによる新旧コンクリートのせん断伝達について、載荷実験結果をもとにせん断耐力の評価式を作 成し、良い精度で評価できていることを確認した。今後は、部材実験により本工法の成立性を確認する予定で ある。

参考文献:1)田中ら:ディンプルを用いた新旧コンクリート間のせん断伝達(その1)載荷実験、第68回年次 学術講演会講演概要集、2013.9